

Supplemental Information for

Ultrafast Photochemistry and Electron Diffraction for Cyclobutanone in the S₂ State: Surface Hopping with Time-Dependent Density Functional Theory

Ericka Roy Miller, Sean Hoehn, Abhijith Kumar, Dehua Jiang, and Shane M. Parker^{a)}

*Department of Chemistry, Case Western Reserve University
10900 Euclid Ave, Cleveland, OH 44106, USA*

This supplemental information is organized as follows:

- Section I: Details on the outcomes of individual PBE0-FSSH trajectories
- Section II: Details on UED simulation and additional figures for selected structures
- Section III: Full data set for Landau-Zener ISC probabilities

^{a)}Electronic mail: shane.parker@case.edu

I. PBE0-FSSH TRAJECTORY OUTCOME STATISTICS

TABLE SI: Trajectory outcome statistics and details for PBE0-FSSH trajectories 0 through 49

Trajectory	S2→S1 Hop (ps)	S2→S1 CI	S1→S0 Hop (ps)	S1→S0 CI	Final State	Dissociation Products
0	4.115	CH stretch	4.388	α stretch	0	none
1	6.713	CH stretch	7.112	α stretch	0	none
2	0.128	β stretch	0.486	α stretch	0	none
3	2.953	CH stretch	3.514	α stretch	0	none
4	n/a	n/a	n/a	n/a	2	none
5	8.894	CH stretch	9.152	α stretch	0	none
6	8.439	CH stretch	n/a	n/a	1	none
7	7.805	CH stretch	9.049	α stretch	0	none
8	6.128	β stretch	6.637	α stretch	0	C2
9	0.022	β stretch	0.101	α stretch	0	C2
10	8.902	CH stretch	n/a	n/a	1	none
11	7.829	CH stretch	9.532	α stretch	0	none
12	0.104	β stretch	0.900	α stretch	0	none
13	5.787	CH stretch	5.942	α stretch	0	none
14	n/a	n/a	n/a	n/a	2	none
15	4.262	CH stretch	4.479	α stretch	0	none
16	4.562	CH stretch	5.234	α stretch	0	none
17	5.507	CH stretch	6.048	α stretch	0	none
18	5.852	CH stretch	6.136	α stretch	0	none
19	n/a	n/a	n/a	n/a	2	none
20	8.497	CH stretch	9.200	α stretch	0	none
21	4.673	CH stretch	4.878	α stretch	0	none
22	6.242	CH stretch	7.001	α stretch	0	none
23	n/a	n/a	n/a	n/a	2	none
24	5.139	CH stretch	5.313	α stretch	0	none
25	3.024	CH stretch	3.537	α stretch	0	none
26	1.629	CH stretch	1.759	α stretch	0	none
27	n/a	n/a	n/a	n/a	2	none
28	3.120	CH stretch	3.451	no conv	0	none
29	n/a	n/a	n/a	n/a	2	none
30	2.617	CH stretch	4.367	α stretch	0	none
31	4.253	CH stretch	4.801	α stretch	0	none
32	0.083	β stretch	0.103	α stretch	0	none
33	0.051	β stretch	0.068	α stretch	0	none
34	n/a	n/a	n/a	n/a	2	none
35	n/a	n/a	n/a	n/a	2	none
36	4.894	CH stretch	5.115	no conv	0	none
37	6.604	CH stretch	7.163	α stretch	0	none
38	1.565	CH stretch	2.016	α stretch	0	none
39	0.122	β stretch	0.145	α stretch	0	C2
40	0.622	β stretch	1.723	α stretch	0	none
41	2.440	β stretch	2.862	α stretch	0	none
42	2.143	CH stretch	2.818	α stretch	0	none
43	n/a	n/a	n/a	n/a	2	none
44	7.648	CH stretch	8.456	α stretch	0	none
45	2.619	CH stretch	3.943	α stretch	0	none
46	0.018	β stretch	1.477	α stretch	0	none
47	4.607	CH stretch	5.072	α stretch	0	none
48	3.776	CH stretch	4.733	α stretch	0	none
49	3.429	CH stretch	4.426	α stretch	0	none

TABLE SII: Trajectory outcome statistics and details for PBE0-FSSH trajectories 50 through 99

Trajectory	S2→S1 Hop (ps)	S2→S1 CI	S1→S0 Hop (ps)	S1→S0 CI	Final State	Dissociation Products
50	0.028	β stretch	0.318	α stretch	0	C2
51 ¹	2.323	other	n/a	n/a	0	none
52	2.335	β stretch	2.411	no conv	0	none
53	0.016	β stretch	0.790	α stretch	0	none
54	9.132	CH stretch	n/a	n/a	1	none
55	2.654	CH stretch	2.803	α stretch	0	C2
56	0.481	CH stretch	0.996	α stretch	0	none
57	1.609	CH stretch	1.781	α stretch	0	none
58	0.754	CH stretch	1.615	α stretch	0	none
59	n/a	n/a	n/a	n/a	2	none
60	2.898	CH stretch	3.633	α stretch	0	none
61	n/a	n/a	n/a	n/a	2	none
62	4.335	CH stretch	4.877	α stretch	0	none
63	2.841	CH stretch	3.827	α stretch	0	none
64	n/a	n/a	n/a	n/a	2	none
65 ²	0.933	β stretch	n/a	n/a	0	none
66	6.188	CH stretch	6.429	α stretch	0	none
67	5.734	CH stretch	5.825	α stretch	0	none
68	6.740	CH stretch	6.890	α stretch	0	none
69	n/a	n/a	n/a	n/a	2	none
70	9.070	CH stretch	n/a	n/a	1	none
71	n/a	n/a	n/a	n/a	2	none
72	7.279	CH stretch	7.934	α stretch	0	none
73	0.903	CH stretch	0.995	α stretch	0	none
74	0.936	CH stretch	1.785	α stretch	0	none
75	7.335	CH stretch	7.467	α stretch	0	none
76	n/a	n/a	n/a	n/a	2	none
77	3.348	CH stretch	3.801	other	0	none
78	0.766	other	2.029	α stretch	0	none
79	1.801	CH stretch	2.133	α stretch	0	none
80	4.984	CH stretch	6.307	α stretch	0	none
81	9.085	CH stretch	9.461	α stretch	0	none
82	9.632	CH stretch	n/a	n/a	1	none
83	n/a	n/a	n/a	n/a	2	none
84	8.652	CH stretch	8.811	α stretch	0	none
85	1.639	CH stretch	2.630	α stretch	0	C2
86	3.990	CH stretch	4.181	α stretch	0	none
87	6.494	CH stretch	6.754	α stretch	0	none
88	5.321	CH stretch	6.098	α stretch	0	none
89	n/a	n/a	n/a	n/a	2	none
90	4.408	CH stretch	5.521	α stretch	0	C3
91	7.134	CH stretch	7.758	α stretch	0	none
92	3.611	CH stretch	4.311	α stretch	0	none
93	7.124	CH stretch	7.985	α stretch	0	none
94	1.469	CH stretch	1.758	α stretch	0	C2
95	5.703	CH stretch	5.958	α stretch	0	none
96	0.067	β stretch	0.186	α stretch	0	C2
97	1.038	CH stretch	1.217	α stretch	0	none
98	4.501	CH stretch	5.062	α stretch	0	none
99	6.049	CH stretch	6.490	α stretch	0	none

II. SIMULATION OF ELECTRON DIFFRACTION SPECTRA

The Ultrafast Electron Diffraction (UED) spectra for the cyclobutanone molecule was simulated based on the Independent Atom Model (IAM).³ All simulations utilized the code developed by Thomas J.A. Wolf.⁴ According to IAM, each atom is considered as a lone scatterer and it assumes that the molecule is a set of non interacting atoms. Thus, this model helps us to consider the elastic scattering amplitude of individual atoms. The elastic scattering amplitude of an individual atom is given by the Mott-Bethe equation

$$f(s) = \frac{me^2}{2\pi\epsilon_0 h^2} \frac{1}{s^2} [Z - F(s)] = \frac{2}{a_0 s^2} [Z - F(s)], \quad (1)$$

where $f(s)$ represents the atomic form factor (AFF) of electron scattering. AFF is a measure of the elastic scattering amplitude of individual atoms. s is the scattering vector, m is the electron mass, e is the electron charge, ϵ_0 is the permittivity of free space, h is the Planck constant, Z represents the atomic number, $F(s)$ is the AFF of X-ray scattering, and a_0 is the Bohr radius. The elastic electron scattering AFF for each atom was computed using the ELSEPA program.⁵ The elastic scattering amplitude of a molecule with N atoms is given by

$$f_M(s) = \sum_{i=1}^N f_i(s) e^{is \cdot r_i} \quad (2)$$

where $f_M(s)$ is the molecular structure factor, $f_i(s)$ is the electron scattering atomic form factor of the i -th atom. s is the scattering vector, r_i is the position vector of the i -th atom. $e^{is \cdot r_i}$ is the phase factor due to the position of the atom.

The total elastic scattering intensity I_s for a molecule can be written as sum of atomic scattering intensity I_{at} and molecular scattering intensity I_{mol} .

$$I_s = I_{at} + I_{mol} = \sum_{i=1}^N |f_i(s)|^2 + \sum_{i=1}^N \sum_{j=1, j \neq i}^N f_i^*(s) f_j(s) \frac{\sin(sr_{ij})}{sr_{ij}} \quad (3)$$

where r_{ij} is the interatomic distance. During the entire calculations the range of s values was chosen from 0 to 12 \AA^{-1} . The atomic scattering intensity accounts for the scattering amplitudes of individual atoms, while molecular scattering intensity accounts for the combined effect of the scattering amplitudes of all the atoms in the molecule. We then computed the modified scattering intensity from the I_{atm} and I_{mol} , and we did the calculations of static ($PDF(R)$) and difference pair distribution functions (ΔPDF) from the modified scattering intensity. The modified scattering intensity $sM(s)$, was calculated and is given by

$$sM(s) = s \frac{I_{mol}}{I_{atm}} \quad (4)$$

Then, a Fourier transform of the $sM(s)$ was performed to obtain the $PDF(R)$

$$PDF(R) = \int_0^{s_{max}} sM(s) \sin(sR) e^{-ks^2} ds \quad (5)$$

where s_{max} is the maximum scattering vector, R is the interatomic distance, and $k = 0.03$ was chosen as a damping factor.

In order to compute the difference pair distribution function $\Delta PDF(R, t)$, we calculated $\Delta sM(s, t)$. The $\Delta sM(s, t)$ was calculated as

$$\Delta sM(s, t) = s \frac{I_{mol}(s, t) - I_{mol}(s, 0)}{I_{at}(s)} \quad (6)$$

where $I_{mol}(s, t)$ is the average molecular scattering intensity at time t across all NAMD trajectories, $I_{mol}(s, 0)$ is the average molecular scattering intensity at time 0 across all trajectories, and $I_{at}(s)$ is the atomic scattering intensity. The $\Delta PDF(R, t)$ was then calculated by performing a Fourier transform of the $\Delta sM(s, t)$ and is given by

$$\Delta PDF(R, t) = \int_0^{s_{max}} \Delta sM(s, t) \sin(sR) e^{-ks^2} ds \quad (7)$$

To match with the experimental results, we then applied a Gaussian convolution of FWHM = 150 fs on the $\Delta PDF(R, t)$.

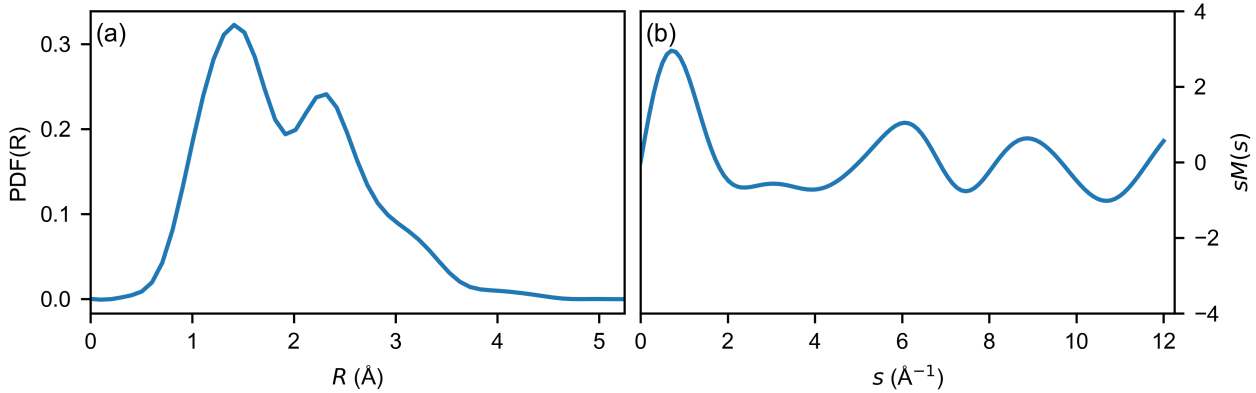


FIG. S1: PDF(R) and $sM(s)$ plots of S_0 optimized cyclobutanone

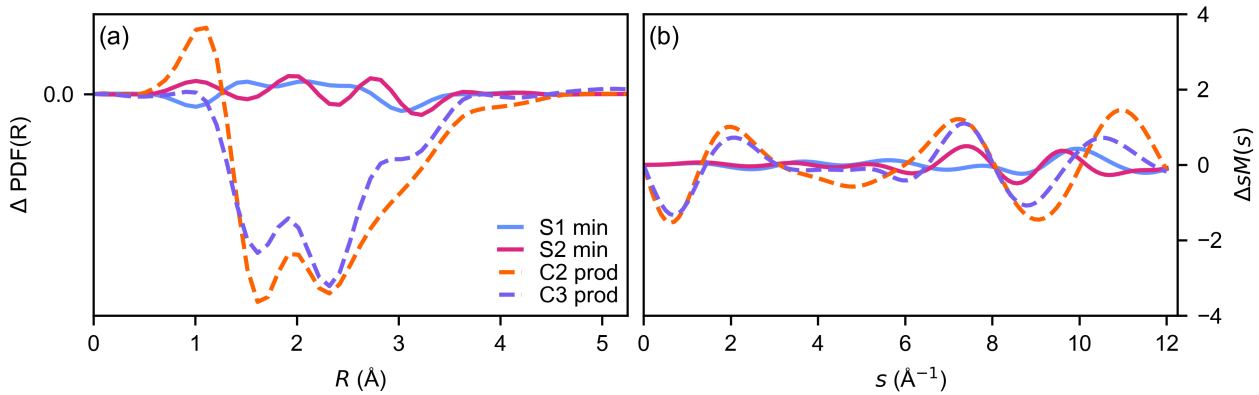


FIG. S2: $\Delta \text{PDF}(R)$ and $\Delta sM(s)$ plots of selected structures with reference to S_0 optimized cyclobutanone

¹Directly hopped from S_2 to S_0 .

²Directly hopped from S_2 to S_0 .

³M. Centurion, T. J. Wolf, and J. Yang, “Ultrafast imaging of molecules with electron diffraction,” Annu. Rev. Phys. Chem. **73**, 21–42 (2022).

⁴T. J. A. Wolf, “Diffraction simulation,” https://github.com/ThomasJAWolf/Diffraction_simulation (2020).

⁵F. Salvat, A. Jablonski, and C. J. Powell, “Elsepa—dirac partial-wave calculation of elastic scattering of electrons and positrons by atoms, positive ions and molecules,” Computer physics communications **165**, 157–190 (2005).

III. ADDITIONAL DATA FROM LANDAU-ZENER ANALYSIS

TABLE SIII: Landau-Zener probabilities calculated using root-mean-square (RMS) of the energy gaps and spin-orbit couplings between each pair of singlet and triplet.

Tn	Sn	job11	job14	job36	job54	job66	job67	job7	job87	job90	average
0	0	3.669×10^{-4}	2.797×10^{-4}	2.669×10^{-4}	2.477×10^{-4}	2.351×10^{-4}	2.544×10^{-4}	3.937×10^{-4}	2.525×10^{-4}	1.761×10^{-4}	2.748×10^{-4}
1	0	3.371×10^{-3}	3.681×10^{-3}	1.562×10^{-3}	3.630×10^{-3}	1.783×10^{-3}	1.498×10^{-3}	2.742×10^{-3}	1.645×10^{-3}	8.852×10^{-4}	2.311×10^{-3}
2	0	2.156×10^{-3}	4.199×10^{-3}	1.598×10^{-3}	3.032×10^{-3}	1.997×10^{-3}	1.629×10^{-3}	3.018×10^{-3}	1.653×10^{-3}	8.347×10^{-4}	2.235×10^{-3}
3	0	8.622×10^{-4}	9.972×10^{-4}	5.483×10^{-4}	9.443×10^{-4}	5.809×10^{-4}	5.263×10^{-4}	7.574×10^{-4}	5.797×10^{-4}	1.677×10^{-4}	6.627×10^{-4}
4	0	7.236×10^{-4}	8.190×10^{-4}	3.934×10^{-4}	7.393×10^{-4}	4.276×10^{-4}	3.774×10^{-4}	6.741×10^{-4}	4.511×10^{-4}	1.092×10^{-4}	5.239×10^{-4}
0	1	9.703×10^{-4}	7.064×10^{-4}	1.490×10^{-3}	8.934×10^{-4}	1.269×10^{-3}	1.222×10^{-3}	1.164×10^{-3}	1.123×10^{-3}	4.693×10^{-4}	1.034×10^{-3}
1	1	2.254×10^{-4}	9.310×10^{-5}	8.446×10^{-5}	1.324×10^{-4}	1.076×10^{-4}	9.898×10^{-5}	1.336×10^{-4}	1.080×10^{-4}	4.523×10^{-5}	1.143×10^{-4}
2	1	7.173×10^{-4}	4.188×10^{-4}	5.584×10^{-4}	5.492×10^{-4}	5.247×10^{-4}	5.199×10^{-4}	7.576×10^{-4}	4.471×10^{-4}	2.325×10^{-4}	5.251×10^{-4}
3	1	1.855×10^{-4}	1.066×10^{-4}	2.286×10^{-4}	1.930×10^{-4}	2.087×10^{-4}	2.020×10^{-4}	1.686×10^{-4}	2.316×10^{-4}	6.259×10^{-5}	1.764×10^{-4}
4	1	1.975×10^{-4}	1.318×10^{-4}	1.634×10^{-4}	1.982×10^{-4}	1.597×10^{-4}	1.352×10^{-4}	1.225×10^{-4}	1.627×10^{-4}	4.527×10^{-5}	1.463×10^{-4}
0	2	3.884×10^{-3}	7.623×10^{-3}	2.151×10^{-3}	5.746×10^{-3}	2.936×10^{-3}	2.153×10^{-3}	4.536×10^{-3}	2.288×10^{-3}	9.552×10^{-4}	3.586×10^{-3}
1	2	8.266×10^{-4}	6.948×10^{-4}	6.866×10^{-4}	7.398×10^{-4}	6.965×10^{-4}	6.460×10^{-4}	1.067×10^{-3}	5.890×10^{-4}	2.196×10^{-4}	6.851×10^{-4}
2	2	2.688×10^{-4}	2.780×10^{-4}	1.644×10^{-4}	2.769×10^{-4}	1.520×10^{-4}	1.324×10^{-4}	1.932×10^{-4}	1.726×10^{-4}	3.404×10^{-5}	1.858×10^{-4}
3	2	1.098×10^{-4}	1.979×10^{-4}	1.199×10^{-4}	2.236×10^{-4}	1.497×10^{-4}	1.090×10^{-4}	1.617×10^{-4}	1.383×10^{-4}	3.292×10^{-5}	1.381×10^{-4}
4	2	8.529×10^{-4}	1.383×10^{-3}	3.673×10^{-4}	1.039×10^{-3}	4.876×10^{-4}	3.879×10^{-4}	8.949×10^{-4}	4.124×10^{-4}	1.316×10^{-4}	6.619×10^{-4}
0	3	4.291×10^{-4}	3.006×10^{-4}	3.002×10^{-4}	3.827×10^{-4}	3.353×10^{-4}	2.568×10^{-4}	3.292×10^{-4}	3.449×10^{-4}	1.682×10^{-4}	3.163×10^{-4}
1	3	7.704×10^{-4}	5.790×10^{-4}	6.675×10^{-4}	6.693×10^{-4}	6.943×10^{-4}	5.230×10^{-4}	7.103×10^{-4}	5.762×10^{-4}	2.047×10^{-4}	5.994×10^{-4}
2	3	1.394×10^{-4}	2.744×10^{-4}	3.830×10^{-4}	2.295×10^{-4}	4.480×10^{-4}	3.145×10^{-4}	3.000×10^{-4}	2.894×10^{-4}	7.759×10^{-5}	2.729×10^{-4}
3	3	1.262×10^{-4}	6.376×10^{-5}	2.575×10^{-4}	1.188×10^{-4}	2.219×10^{-4}	1.626×10^{-4}	1.528×10^{-4}	1.841×10^{-4}	3.594×10^{-5}	1.471×10^{-4}
4	3	1.927×10^{-4}	1.394×10^{-4}	1.433×10^{-4}	1.518×10^{-4}	1.468×10^{-4}	1.144×10^{-4}	1.509×10^{-4}	1.409×10^{-4}	3.718×10^{-5}	1.353×10^{-4}
0	4	3.825×10^{-4}	3.435×10^{-4}	3.384×10^{-4}	3.550×10^{-4}	3.621×10^{-4}	2.701×10^{-4}	4.231×10^{-4}	3.025×10^{-4}	1.565×10^{-4}	3.260×10^{-4}
1	4	2.223×10^{-3}	2.734×10^{-3}	1.049×10^{-3}	2.641×10^{-3}	1.410×10^{-3}	9.464×10^{-4}	1.442×10^{-3}	1.089×10^{-3}	4.297×10^{-4}	1.552×10^{-3}
2	4	1.126×10^{-3}	2.813×10^{-3}	1.163×10^{-3}	1.932×10^{-3}	1.630×10^{-3}	1.295×10^{-3}	1.826×10^{-3}	1.223×10^{-3}	3.405×10^{-4}	1.483×10^{-3}
3	4	2.929×10^{-4}	2.199×10^{-4}	5.058×10^{-4}	2.772×10^{-4}	5.515×10^{-4}	4.044×10^{-4}	3.610×10^{-4}	4.202×10^{-4}	7.435×10^{-5}	3.453×10^{-4}
4	4	5.052×10^{-4}	4.969×10^{-4}	4.235×10^{-4}	4.866×10^{-4}	4.608×10^{-4}	3.739×10^{-4}	5.355×10^{-4}	4.367×10^{-4}	9.903×10^{-5}	4.242×10^{-4}
0	5	3.619×10^{-4}	4.862×10^{-4}	3.999×10^{-4}	4.439×10^{-4}	4.229×10^{-4}	3.363×10^{-4}	3.947×10^{-4}	3.898×10^{-4}	1.444×10^{-4}	3.756×10^{-4}
1	5	1.640×10^{-3}	1.680×10^{-3}	8.967×10^{-4}	1.840×10^{-3}	1.107×10^{-3}	7.967×10^{-4}	1.240×10^{-3}	8.765×10^{-4}	3.285×10^{-4}	1.156×10^{-3}
2	5	2.028×10^{-3}	5.838×10^{-3}	1.982×10^{-3}	4.464×10^{-3}	2.732×10^{-3}	2.044×10^{-3}	3.817×10^{-3}	2.285×10^{-3}	6.201×10^{-4}	2.868×10^{-3}
3	5	3.904×10^{-4}	4.979×10^{-4}	6.641×10^{-4}	7.023×10^{-4}	6.682×10^{-4}	5.961×10^{-4}	4.922×10^{-4}	7.114×10^{-4}	1.232×10^{-4}	5.384×10^{-4}
4	5	6.901×10^{-4}	1.312×10^{-3}	6.970×10^{-4}	1.024×10^{-3}	7.139×10^{-4}	6.383×10^{-4}	8.469×10^{-4}	8.245×10^{-4}	1.196×10^{-4}	7.629×10^{-4}

TABLE SIV: Landau-Zener probabilities calculated using root-mean-square (RMS) minus 1 standard deviation of the energy gaps and root-mean-square (RMS) plus 1 standard deviation of the spin-orbit couplings between each pair of singlet and triplet.

Tn	Sn	job11	job14	job36	job54	job66	job67	job7	job87	job90	average
0	0	2.372×10^{-3}	1.846×10^{-3}	2.298×10^{-3}	1.696×10^{-3}	2.179×10^{-3}	2.560×10^{-3}	3.648×10^{-3}	2.140×10^{-3}	1.912×10^{-3}	2.294×10^{-3}
1	0	2.580×10^{-2}	1.532×10^{-2}	1.589×10^{-2}	2.474×10^{-2}	2.019×10^{-2}	1.605×10^{-2}	2.620×10^{-2}	1.725×10^{-2}	1.458×10^{-2}	1.956×10^{-2}
2	0	1.226×10^{-2}	1.819×10^{-2}	1.113×10^{-2}	1.501×10^{-2}	1.406×10^{-2}	1.229×10^{-2}	1.892×10^{-2}	1.235×10^{-2}	1.027×10^{-2}	1.383×10^{-2}
3	0	7.936×10^{-3}	6.822×10^{-3}	5.816×10^{-3}	7.541×10^{-3}	6.085×10^{-3}	5.831×10^{-3}	7.519×10^{-3}	6.624×10^{-3}	3.527×10^{-3}	6.411×10^{-3}
4	0	5.347×10^{-3}	4.594×10^{-3}	3.948×10^{-3}	4.770×10^{-3}	4.219×10^{-3}	3.773×10^{-3}	5.697×10^{-3}	4.392×10^{-3}	2.570×10^{-3}	4.368×10^{-3}
0	1	5.877×10^{-3}	4.245×10^{-3}	1.153×10^{-2}	5.598×10^{-3}	1.100×10^{-2}	9.994×10^{-3}	9.625×10^{-3}	9.351×10^{-3}	5.433×10^{-3}	8.072×10^{-3}
1	1	2.750×10^{-3}	1.103×10^{-3}	1.156×10^{-3}	1.602×10^{-3}	1.701×10^{-3}	1.464×10^{-3}	1.854×10^{-3}	1.627×10^{-3}	1.095×10^{-3}	1.595×10^{-3}
2	1	5.944×10^{-3}	2.432×10^{-3}	5.399×10^{-3}	3.940×10^{-3}	4.642×10^{-3}	4.954×10^{-3}	6.592×10^{-3}	4.203×10^{-3}	4.339×10^{-3}	4.716×10^{-3}
3	1	1.577×10^{-3}	8.154×10^{-4}	2.530×10^{-3}	1.569×10^{-3}	2.258×10^{-3}	2.337×10^{-3}	1.652×10^{-3}	2.653×10^{-3}	1.018×10^{-3}	1.823×10^{-3}
4	1	1.963×10^{-3}	1.151×10^{-3}	1.845×10^{-3}	1.788×10^{-3}	1.908×10^{-3}	1.398×10^{-3}	1.258×10^{-3}	1.821×10^{-3}	7.554×10^{-4}	1.543×10^{-3}
0	2	2.860×10^{-2}	3.812×10^{-2}	1.743×10^{-2}	3.191×10^{-2}	2.532×10^{-2}	1.995×10^{-2}	3.465×10^{-2}	2.040×10^{-2}	1.569×10^{-2}	2.579×10^{-2}
1	2	5.358×10^{-3}	3.326×10^{-3}	7.405×10^{-3}	4.603×10^{-3}	7.471×10^{-3}	6.947×10^{-3}	9.672×10^{-3}	6.818×10^{-3}	4.405×10^{-3}	6.223×10^{-3}
2	2	3.160×10^{-3}	4.263×10^{-3}	2.743×10^{-3}	4.021×10^{-3}	2.918×10^{-3}	2.453×10^{-3}	4.422×10^{-3}	3.042×10^{-3}	1.133×10^{-3}	3.128×10^{-3}
3	2	8.105×10^{-4}	1.432×10^{-3}	1.262×10^{-3}	1.786×10^{-3}	1.524×10^{-3}	1.175×10^{-3}	1.411×10^{-3}	1.577×10^{-3}	6.822×10^{-4}	1.295×10^{-3}
4	2	5.521×10^{-3}	7.074×10^{-3}	3.468×10^{-3}	6.022×10^{-3}	4.561×10^{-3}	3.634×10^{-3}	6.730×10^{-3}	3.727×10^{-3}	2.798×10^{-3}	4.837×10^{-3}
0	3	3.011×10^{-3}	2.342×10^{-3}	2.690×10^{-3}	2.988×10^{-3}	3.113×10^{-3}	2.727×10^{-3}	3.446×10^{-3}	3.121×10^{-3}	2.315×10^{-3}	2.862×10^{-3}
1	3	8.812×10^{-3}	5.076×10^{-3}	1.002×10^{-2}	8.229×10^{-3}	1.069×10^{-2}	8.070×10^{-3}	1.150×10^{-2}	8.296×10^{-3}	4.987×10^{-3}	8.409×10^{-3}
2	3	1.088×10^{-3}	1.940×10^{-3}	4.059×10^{-3}	1.702×10^{-3}	4.942×10^{-3}	3.533×10^{-3}	2.844×10^{-3}	2.915×10^{-3}	1.631×10^{-3}	2.739×10^{-3}
3	3	1.965×10^{-3}	6.253×10^{-4}	4.211×10^{-3}	1.516×10^{-3}	3.868×10^{-3}	2.853×10^{-3}	2.850×10^{-3}	3.281×10^{-3}	1.048×10^{-3}	2.469×10^{-3}
4	3	1.841×10^{-3}	8.608×10^{-4}	1.694×10^{-3}	1.233×10^{-3}	1.718×10^{-3}	1.340×10^{-3}	1.639×10^{-3}	1.571×10^{-3}	9.559×10^{-4}	1.428×10^{-3}
0	4	2.526×10^{-3}	2.098×10^{-3}	2.760×10^{-3}	2.229×10^{-3}	3.062×10^{-3}	2.471×10^{-3}	3.457×10^{-3}	2.435×10^{-3}	2.000×10^{-3}	2.560×10^{-3}
1	4	2.277×10^{-2}	2.444×10^{-2}	1.472×10^{-2}	2.504×10^{-2}	2.140×10^{-2}	1.406×10^{-2}	1.926×10^{-2}	1.578×10^{-2}	1.104×10^{-2}	1.872×10^{-2}
2	4	9.648×10^{-3}	2.308×10^{-2}	1.212×10^{-2}	1.629×10^{-2}	1.729×10^{-2}	1.452×10^{-2}	1.705×10^{-2}	1.319×10^{-2}	7.742×10^{-3}	1.455×10^{-2}
3	4	2.777×10^{-3}	1.663×10^{-3}	6.646×10^{-3}	2.295×10^{-3}	7.276×10^{-3}	5.599×10^{-3}	3.988×10^{-3}	5.397×10^{-3}	1.872×10^{-3}	4.168×10^{-3}
4	4	5.294×10^{-3}	4.414×10^{-3}	5.613×10^{-3}	4.519×10^{-3}	5.911×10^{-3}	4.899×10^{-3}	6.402×10^{-3}	5.424×10^{-3}	2.694×10^{-3}	5.019×10^{-3}
0	5	2.366×10^{-3}	3.609×10^{-3}	3.281×10^{-3}	3.306×10^{-3}	3.828×10^{-3}	3.322×10^{-3}	3.553×10^{-3}	3.453×10^{-3}	1.963×10^{-3}	3.187×10^{-3}
1	5	1.971×10^{-2}	1.390×10^{-2}	1.219×10^{-2}	1.880×10^{-2}	1.766×10^{-2}	1.258×10^{-2}	1.954×10^{-2}	1.334×10^{-2}	8.642×10^{-3}	1.515×10^{-2}
2	5	1.659×10^{-2}	4.693×10^{-2}	2.186×10^{-2}	3.847×10^{-2}	3.014×10^{-2}	2.370×10^{-2}	3.840×10^{-2}	2.535×10^{-2}	1.491×10^{-2}	2.849×10^{-2}
3	5	3.670×10^{-3}	4.571×10^{-3}	8.666×10^{-3}	6.904×10^{-3}	9.067×10^{-3}	8.545×10^{-3}	5.821×10^{-3}	9.654×10^{-3}	3.420×10^{-3}	6.702×10^{-3}
4	5	8.257×10^{-3}	1.419×10^{-2}	9.807×10^{-3}	1.116×10^{-2}	1.044×10^{-2}	9.570×10^{-3}	1.194×10^{-2}	1.102×10^{-2}	3.668×10^{-3}	1.001×10^{-2}

TABLE SV: Landau-Zener probabilities calculated using root-mean-square (RMS) plus 1 standard deviation of the energy gaps and root-mean-square (RMS) minus 1 standard deviation of the spin-orbit couplings between each pair of singlet and triplet.

Tn	Sn	job11	job14	job36	job54	job66	job67	job7	job87	job90	average
0	0	3.088×10^{-5}	3.162×10^{-5}	1.403×10^{-5}	1.848×10^{-5}	1.298×10^{-5}	1.348×10^{-5}	2.421×10^{-5}	1.657×10^{-5}	9.870×10^{-6}	1.912×10^{-5}
1	0	6.137×10^{-4}	1.283×10^{-3}	2.267×10^{-4}	8.485×10^{-4}	3.034×10^{-4}	2.103×10^{-4}	5.051×10^{-4}	2.480×10^{-4}	8.173×10^{-5}	4.800×10^{-4}
2	0	4.046×10^{-4}	1.287×10^{-3}	3.263×10^{-4}	7.686×10^{-4}	4.410×10^{-4}	3.403×10^{-4}	7.591×10^{-4}	3.313×10^{-4}	8.037×10^{-5}	5.265×10^{-4}
3	0	9.972×10^{-5}	1.347×10^{-4}	6.258×10^{-5}	1.224×10^{-4}	7.462×10^{-5}	6.430×10^{-5}	7.792×10^{-5}	6.361×10^{-5}	1.313×10^{-5}	7.922×10^{-5}
4	0	1.221×10^{-4}	1.852×10^{-4}	5.654×10^{-5}	1.448×10^{-4}	6.851×10^{-5}	5.695×10^{-5}	1.108×10^{-4}	6.258×10^{-5}	1.144×10^{-5}	9.099×10^{-5}
0	1	1.055×10^{-4}	1.382×10^{-4}	1.701×10^{-4}	1.225×10^{-4}	1.425×10^{-4}	1.304×10^{-4}	1.216×10^{-4}	1.145×10^{-4}	2.899×10^{-5}	1.194×10^{-4}
1	1	1.066×10^{-5}	8.780×10^{-6}	4.520×10^{-6}	8.012×10^{-6}	4.655×10^{-6}	4.486×10^{-6}	5.036×10^{-6}	5.171×10^{-6}	1.664×10^{-6}	5.887×10^{-6}
2	1	6.302×10^{-5}	1.157×10^{-4}	4.867×10^{-5}	8.727×10^{-5}	5.891×10^{-5}	4.737×10^{-5}	8.555×10^{-5}	4.159×10^{-5}	1.046×10^{-5}	6.206×10^{-5}
3	1	2.127×10^{-5}	1.764×10^{-5}	1.403×10^{-5}	2.142×10^{-5}	1.430×10^{-5}	1.079×10^{-5}	1.401×10^{-5}	1.477×10^{-5}	3.891×10^{-6}	1.468×10^{-5}
4	1	9.050×10^{-6}	1.008×10^{-5}	9.031×10^{-6}	1.141×10^{-5}	8.645×10^{-6}	8.081×10^{-6}	7.841×10^{-6}	8.757×10^{-6}	2.103×10^{-6}	8.333×10^{-6}
0	2	8.487×10^{-4}	2.799×10^{-3}	4.161×10^{-4}	1.732×10^{-3}	6.239×10^{-4}	4.359×10^{-4}	1.266×10^{-3}	4.437×10^{-4}	7.188×10^{-5}	9.597×10^{-4}
1	2	9.159×10^{-5}	2.060×10^{-4}	5.757×10^{-5}	1.275×10^{-4}	7.169×10^{-5}	5.843×10^{-5}	1.120×10^{-4}	4.955×10^{-5}	9.836×10^{-6}	8.712×10^{-5}
2	2	1.284×10^{-5}	2.022×10^{-5}	7.015×10^{-6}	1.613×10^{-5}	7.765×10^{-6}	6.508×10^{-6}	8.948×10^{-6}	7.473×10^{-6}	8.483×10^{-7}	9.750×10^{-6}
3	2	7.036×10^{-6}	1.738×10^{-5}	9.421×10^{-6}	1.723×10^{-5}	1.080×10^{-5}	8.634×10^{-6}	1.246×10^{-5}	1.045×10^{-5}	1.572×10^{-6}	1.055×10^{-5}
4	2	1.245×10^{-4}	3.562×10^{-4}	4.193×10^{-5}	2.098×10^{-4}	6.684×10^{-5}	4.957×10^{-5}	1.712×10^{-4}	5.272×10^{-5}	8.084×10^{-6}	1.201×10^{-4}
0	3	1.824×10^{-5}	1.098×10^{-5}	1.980×10^{-5}	1.733×10^{-5}	1.952×10^{-5}	1.375×10^{-5}	1.212×10^{-5}	2.184×10^{-5}	3.419×10^{-6}	1.522×10^{-5}
1	3	2.706×10^{-5}	3.084×10^{-5}	2.281×10^{-5}	2.836×10^{-5}	2.207×10^{-5}	1.665×10^{-5}	2.164×10^{-5}	2.049×10^{-5}	2.613×10^{-6}	2.139×10^{-5}
2	3	7.467×10^{-6}	2.729×10^{-5}	1.579×10^{-5}	2.280×10^{-5}	1.811×10^{-5}	1.249×10^{-5}	1.804×10^{-5}	1.500×10^{-5}	1.751×10^{-6}	1.542×10^{-5}
3	3	2.153×10^{-6}	4.926×10^{-6}	4.017×10^{-6}	4.351×10^{-6}	3.304×10^{-6}	2.450×10^{-6}	2.565×10^{-6}	3.222×10^{-6}	3.806×10^{-7}	3.041×10^{-6}
4	3	9.378×10^{-6}	2.470×10^{-5}	7.871×10^{-6}	1.614×10^{-5}	8.620×10^{-6}	7.097×10^{-6}	1.189×10^{-5}	8.130×10^{-6}	1.085×10^{-6}	1.055×10^{-5}
0	4	4.687×10^{-5}	6.267×10^{-5}	3.644×10^{-5}	5.099×10^{-5}	4.182×10^{-5}	2.855×10^{-5}	4.705×10^{-5}	3.303×10^{-5}	5.622×10^{-6}	3.923×10^{-5}
1	4	1.760×10^{-4}	2.514×10^{-4}	6.223×10^{-5}	2.070×10^{-4}	8.646×10^{-5}	5.981×10^{-5}	1.240×10^{-4}	6.390×10^{-5}	1.089×10^{-5}	1.157×10^{-4}
2	4	7.108×10^{-5}	2.563×10^{-4}	7.296×10^{-5}	1.494×10^{-4}	1.075×10^{-4}	8.094×10^{-5}	1.385×10^{-4}	7.033×10^{-5}	6.964×10^{-6}	1.060×10^{-4}
3	4	1.469×10^{-5}	2.266×10^{-5}	1.378×10^{-5}	2.305×10^{-5}	1.398×10^{-5}	1.110×10^{-5}	1.385×10^{-5}	1.288×10^{-5}	1.176×10^{-6}	1.413×10^{-5}
4	4	4.085×10^{-5}	5.272×10^{-5}	1.710×10^{-5}	4.331×10^{-5}	2.202×10^{-5}	1.789×10^{-5}	3.779×10^{-5}	2.191×10^{-5}	2.344×10^{-6}	2.844×10^{-5}
0	5	3.850×10^{-5}	5.135×10^{-5}	4.122×10^{-5}	4.051×10^{-5}	4.026×10^{-5}	3.142×10^{-5}	4.221×10^{-5}	3.765×10^{-5}	6.860×10^{-6}	3.666×10^{-5}
1	5	8.250×10^{-5}	1.396×10^{-4}	4.573×10^{-5}	1.273×10^{-4}	6.013×10^{-5}	3.734×10^{-5}	6.420×10^{-5}	4.186×10^{-5}	5.814×10^{-6}	6.717×10^{-5}
2	5	1.331×10^{-4}	5.830×10^{-4}	1.350×10^{-4}	3.885×10^{-4}	2.085×10^{-4}	1.498×10^{-4}	3.387×10^{-4}	1.500×10^{-4}	1.611×10^{-5}	2.336×10^{-4}
3	5	1.738×10^{-5}	2.027×10^{-5}	2.102×10^{-5}	2.715×10^{-5}	1.998×10^{-5}	1.529×10^{-5}	1.646×10^{-5}	2.204×10^{-5}	1.612×10^{-6}	1.791×10^{-5}
4	5	3.650×10^{-5}	5.564×10^{-5}	2.381×10^{-5}	4.920×10^{-5}	2.682×10^{-5}	2.172×10^{-5}	3.377×10^{-5}	2.844×10^{-5}	2.151×10^{-6}	3.090×10^{-5}